



# TVORBA MAP POVODŇOVÉHO NEBEZPEČÍ A POVODŇOVÝCH RIZIK PRO OBLASTI POVODÍ HORNÍ VLTAVY, BEROUNKY A DOLNÍ VLTAVY

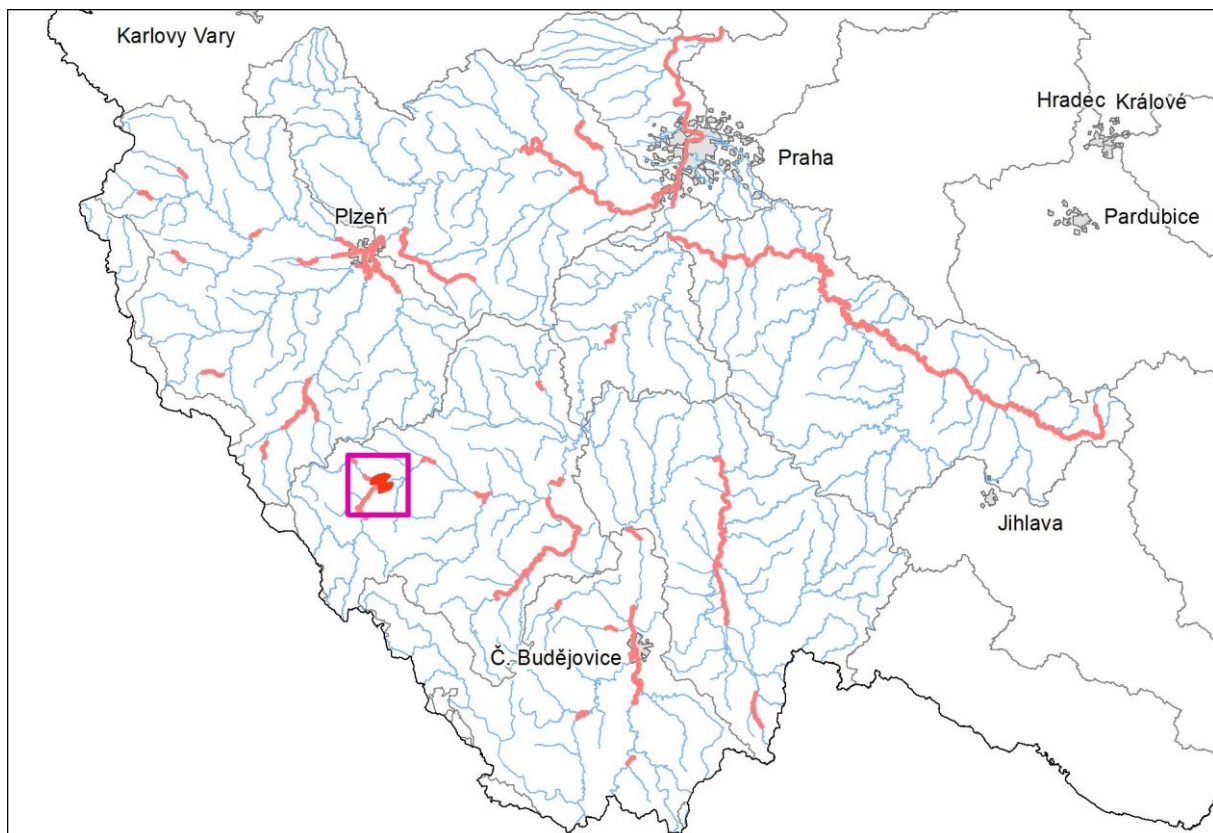
## DÍLČÍ POVODÍ BEROUNKY

### B. TECHNICKÁ ZPRÁVA – HYDRODYNAMICKÉ MODELY A MAPY POVODŇOVÉHO NEBEZPEČÍ

OSTRUŽNÁ - 10100097\_1 - Ř.KM 0,0 – 2,0

OSTRUŽNÁ - 10100097\_2 - Ř.KM 2,0 – 5,6

OSTRUŽNÁ - 10100097\_3 - Ř.KM 5,6 – 7,2







OPERAČNÍ PROGRAM  
ŽIVOTNÍ PROSTŘEDÍ



EVROPSKÁ UNIE  
Fond soudržnosti

Pro vodu,  
vzduch a přírodu

# TVORBA MAP POVODŇOVÉHO NEBEZPEČÍ A POVODŇOVÝCH RIZIK PRO OBLASTI POVODÍ HORNÍ VLTAVY, BEROUNKY A DOLNÍ VLTAVY

## DÍLČÍ POVODÍ BEROUNKY

### B. TECHNICKÁ ZPRÁVA – HYDRODYNAMICKÉ MODELY A MAPY POVODŇOVÉHO NEBEZPEČÍ

OSTRUŽNÁ - 10100097\_1 - Ř.KM 0 - 2

OSTRUŽNÁ - 10100097\_2 - Ř.KM 2,0 – 5,6

OSTRUŽNÁ - 10100097\_3 - Ř.KM 5,6 – 7,2

Pořizovatel:



Povodí Vltavy, státní podnik

Holečkova 8  
Praha 5  
150 24

Zhotovitel: sdružení „DHI + HDP“



DHI a.s.  
Na Vrších 1490/5  
Praha 10  
100 00



Sweco Hydroprojekt a.s.  
Táborská 31  
Praha 4  
140 16



OPERAČNÍ PROGRAM  
ŽIVOTNÍ PROSTŘEDÍ



EVROPSKÁ UNIE

Fond soudržnosti

Pro vodu,  
vzduch a přírodu

---

**Řešitel:**



Sweco Hydropunkt a.s.

Táborská 31

Praha 4

140 16

V Praze, 04. 2013

**Obsah:**

<b>1</b>	<b>Základní údaje.....</b>	<b>6</b>
1.1	Seznam zkratek a symbolů .....	6
1.2	Cíle prací.....	6
1.3	Předmět práce .....	6
1.4	Postup zpracování a metoda řešení .....	6
<b>2</b>	<b>Popis zájmového území .....</b>	<b>8</b>
2.1	Všeobecné údaje .....	9
2.2	Průběhy historických povodní (největší zaznamenané povodně) .....	9
<b>3</b>	<b>Přehled podkladů.....</b>	<b>10</b>
3.1	Topologická data.....	10
3.1.1	Vytvoření (aktualizace) DMT .....	10
3.1.2	Mapové podklady.....	10
3.1.3	Geodetické podklady .....	11
3.2	Hydrologická data .....	11
3.3	Místní šetření .....	11
3.4	Doplňující podklady – technické a provozní informace, zprávy, studie, dokumenty, literatura.....	12
3.5	Normy, zákony, vyhlášky .....	12
3.6	Vyhodnocení a příprava podkladů .....	12
<b>4</b>	<b>Popis koncepčního modelu .....</b>	<b>13</b>
4.1	Schematizace řešeného problému.....	13
4.2	Posouzení vlivu nestacionarity proudění .....	13
4.3	Způsob zadávání OP a PP .....	13
<b>5</b>	<b>Popis numerického modelu.....</b>	<b>14</b>
5.1	Použité programové vybavení.....	14
5.2	Vstupní data numerického modelu.....	14
5.2.1	Morfologie vodního toku a záplavového území.....	14
5.2.2	Drsnosti hlavního koryta a inundačních území .....	15
5.2.3	Hodnoty okrajových podmínek .....	15
5.2.4	Hodnoty počátečních podmínek .....	15
5.2.5	Diskuze k nejistotám a úplnosti vstupních dat .....	16
5.3	Popis kalibrace modelu .....	16
<b>6</b>	<b>Výstupy z modelu .....</b>	<b>17</b>
6.1	Záplavové čáry pro průtoky $Q_5$ , $Q_{20}$ , $Q_{100}$ a $Q_{500}$ .....	19
6.2	Hloubky pro průtoky $Q_5$ , $Q_{20}$ , $Q_{100}$ a $Q_{500}$ .....	20
6.3	Rychlosti pro průtoky $Q_5$ , $Q_{20}$ , $Q_{100}$ a $Q_{500}$ .....	20
6.4	Zhodnocení nejistot ve výsledcích výpočtů .....	20

## 1 Základní údaje

### 1.1 Seznam zkratek a symbolů

Tabulka 1 – Seznam zkrátek a symbolů

Zkratka	Vysvětlení
ČHMÚ	Český hydrometeorologický ústav
DMT	Digitální model terénu
S_JTSK	Souřadný systém jednotné trigonometrické sítě katastrální
Bpv	Výškový systém Balt po vyrovnání
ZÚ	Záplavová území
1D model	Matematický model jednorozměrného proudění
VÚV TGM	Výzkumný ústav vodohospodářský T.G. Masaryka, v.v.i.
PPO	Protipovodňová opatření
ZM-10	Základní mapa 1 : 10 000
ZABAGED®	Základní báze geografických dat – digitální topografický model
GIS	Geografický informační systém
ČUZK	Český úřad zeměměřický a katastrální
ř.km	Říční kilometr

### 1.2 Cíle prací

Cílem prací je vyjádření povodňového nebezpečí na základě stanovení těchto charakteristik průběhu povodně:

- hranice rozливů,
- hloubky vody v záplavovém území,
- rychlosti proudění vody v záplavovém území.

Podstatou vyjádření povodňového nebezpečí je určení prostorového rozdělení uvedených charakteristik povodně a zpracování těchto údajů do podoby tzv. map povodňového nebezpečí. Ty slouží v dalším kroku jako podklad pro vyjádření povodňového rizika semikvantitativní metodou uvedenou v „Metodice tvorby map povodňového nebezpečí a povodňových rizik“.

### 1.3 Předmět práce

Předmět práce zahrnuje tyto činnosti:

- Popis postupů souvisejících se zajištěním vstupních podkladů – stávající + nové (dodatečné zaměření profilů, objektů atd.)
- Sestavení (aktualizace) hydrodynamických modelů a příslušné simulace
- Zpracování výsledků numerického modelování a vytvoření map povodňového nebezpečí (mapy rozливů, hloubek a rychlostí).

### 1.4 Postup zpracování a metoda řešení

Výchozím podkladem při zajišťování vstupů pro sestavení hydraulického modelu bylo geodetické zaměření, které bylo poskytnuto pořizovatelem. Jedná se o zaměření Ostružné v rozsahu Dobršín – Keply.

Po prostudování poskytnutých dat byl proveden terénní průzkum s cílem zjistit, zda poskytnutý rozsah geodetického zaměření je dostatečný pro hydraulické modelování a aktuální nebo bude třeba provést dodatečné zaměření. V průběhu terénního průzkumu byla pořízena nová fotodokumentace vybraných profilů a objektů. Na základě místního šetření bylo shledáno původní zaměření za dostatečné, avšak bylo nutné provést dodatečné zaměření u 8 přičných profilů a 8 objektů.

Od ČHMU byla objednána aktuální hydrologická data (N-leté průtoky) pro scénáře  $Q_5$ ,  $Q_{20}$ ,  $Q_{100}$  a  $Q_{500}$ .

## Sestavení hydraulického modelu.

Na řece Ostružné jsou vymezeny 3 oblasti s potenciálně významným povodňovým rizikem a to v rozsahu intravilán města Sušice a intravilány obcí Hrádek a Kolíneček. Tyto oblasti na sebe navzájem navazují a jedná se konkrétně o úseky toků VL-20 ř.km 0 – 2, VL-120 ř.km 2,0 – 5,6 a VL-18 ř.km 5,6 – 7,2. Jelikož se jedná o tři krátké návazné úseky, byl vytvořen jen jeden hydraulický model. Pro lepší získání výsledků byl úsek VL-20 ř.km 0 – 2 počítán jako odlehčení s vlastní kilometráží. V důsledku toho, došlo ke změně kilometráže na hlavním toku Ostružné. V daném rozsahu nebyly k dispozici žádné kalibrační značky.

Hydraulické charakteristiky proudění v zájmové oblasti toku byly simulovány matematickým modelem HEC – RAS 4.1.0 včetně jeho nadstavby pro GIS GeoRAS.

Hlavním podkladem pro generování vstupů pro HEC – RAS byl digitální model terénu (DMT) ve formátu TIN. DMT zájmové oblasti byl sestaven z dat bodů 4G a 5G, který byl zpřesněn o vymodelované dno koryta včetně objektů v korytě. Koryto bylo vystaveno pomocí lineární interpolace zaměřených říčních přičních profilů s akceptováním směrového vedení toku. Již zmíněná nadstavba HEC-RAS GeoRAS, která je extensí ArcGIS vytváří z digitálního modelu terénu geometrický model terénu – dojde k vytvoření 3D říční sítě s 3D souřadnicemi, které jsou pak vstupem pro hydraulický model.

Přiční profily generované z geometrického modelu terénu, byly voleny tak, aby v maximální možné míře postihovaly složitost proudění při povodni. Po importu do HEC – RAS proběhlo další upřesňování tvarů některých profilů podle poznatků z terénního průzkumu. Takto upravené profily byly dále vymezeny na aktivní a neaktivní zóny pro jednotlivé návrhové průtoky.

Drsnosti koryta jsou do řešení zahrnuty Manningovým součinitelem drsnosti  $n$ . Hodnoty lze zadávat v různých bodech přičního profilu, daná hodnota pak platí, až k bodu další změny hodnoty parametru  $n$ . Základní postup zavádí moduly průtoku pro pásy přičního profilu mezi místy změn hodnot zadávaných drsností. Z dílčích hodnot modulů průtoku získává program hodnoty modulů průtoku pro levou a pravou inundaci a tyto hodnoty pak přičítá k modulu průtoku vlastního koryta. Rozdělení průtoků bylo počítáno v dílčích pásech jak vlastního koryta, tak i obou inundací včetně stanovení rozdělení rychlostí. Model tedy poskytne, kromě dalších hydraulických charakteristik i charakteristiky rychlostního pole v hlavním korytě i v inundacích.

Jezové objekty a spádové stupně jsou počítány jako přepad přes obecné jezové těleso se zahrnutím součinitele zatopení na základě známé úrovně dolní vody, jež vzešla z výpočtu úseku pod objektem. Mostní objekty jsou počítány až do doby zahlcení jako vlastní profil koryta, po zahlcení jsou pak počítány jako objekty skládající se z kombinace výtoku vody otvorem a přepadu přes širokou korunu – přepad vody přes mostovku. I tyto objekty jsou uvažovány se správnou úrovní dolní vody vzešlou z výpočtu spodního úseku.

V takto sestavené výpočetní trati proběhl výpočet pro zadané povodňové scénáře –  $Q_5$ ,  $Q_{20}$ ,  $Q_{100}$ ,  $Q_{500}$  a pomocí RAS Mapperu byly vygenerovány záplavové čáry, které vznikly průnikem vypočtené hladiny v daném přičním profilu s terénem. Rozsah záplavových území byl poté ještě upravován s přihlédnutím na skutečný možný rozliv a znalosti terénního průzkumu.

Rozsah záplavového území je stanoven dle platné vyhlášky Ministerstva životního prostředí č. 236/2002 Sb. pro nerovnoměrné ustálené proudění, což znamená, že nezohledňuje délku trvání povodně ani objem povodňové vlny. Proto i v místech širokých rozlivů hladina odpovídá stanovenému průtoku a tedy nezohledňuje transformaci povodňové vlny, ke které může dojít.

Z dosažených výsledků byly pro všechny průtokové stavy  $Q_N$  vygenerovány:

- záplavové čáry (hranice rozlivů),
- mapy hloubek,
- mapy rychlostí,
- mapy hladin

na základě kterých byly vytvořeny mapy povodňového nebezpečí.

## 2 Popis zájmového území

Název toku: Ostružná

ID úseku IDVT CEVT: 10100097\_1

10100097\_2

10100097\_3

Číslo hydrologického pořadí toku: 1-08-01-075; 1-08-01-076; 1-08-01-077; 1-08-01-078; 1-08-01-079;  
1-08-01-064

**Úsek toku: Dobršín, Sušice ř.km 0,0 - 2,0**

**Sušice, Hrádek ř.km 2,0 - 5,6**

**Hrádek ř.km 5,6 - 7,2**

**(rozsah modelu ř.km 0,0 – 7,108)**

**(rozsah modelu odlehčení ř.km 0,0 – 1,134)**

**Ostružná** (někdy také označována jako Pstružná) je významným levostranným přítokem řeky Otavy v okrese Klatovy v Plzeňském kraji. Délka toku činí 40,4 km. Plocha povodí měří 168,6 km<sup>2</sup>.

Řeka pramení na Šumavě, zhruba 2 km severovýchodně od Hadího vrchu (1025 m), v nadmořské výšce 938 m. Na horním toku proudí nejprve severozápadním až severním směrem. U Čachrova se obrací na východ k obci Velhartice (kde na ostrohu nad levým břehem stojí hrad Velhartice) a odtud směruje dále na severovýchod. U starobylé zlatokopecké osady Kolinec se Ostružná mění v částečně regulovanou říčku s četnými jezy. Pod Sušicí, ve výšce 452 m n.m., ústí Ostružná do Otavy přepadem před nímž odbočuje vlevo jeden kilometr dlouhým náhonem, okolo ČOV, ústicím též do Otavy.

*Podklady:*

Název toku - zdroj VÚV TGM

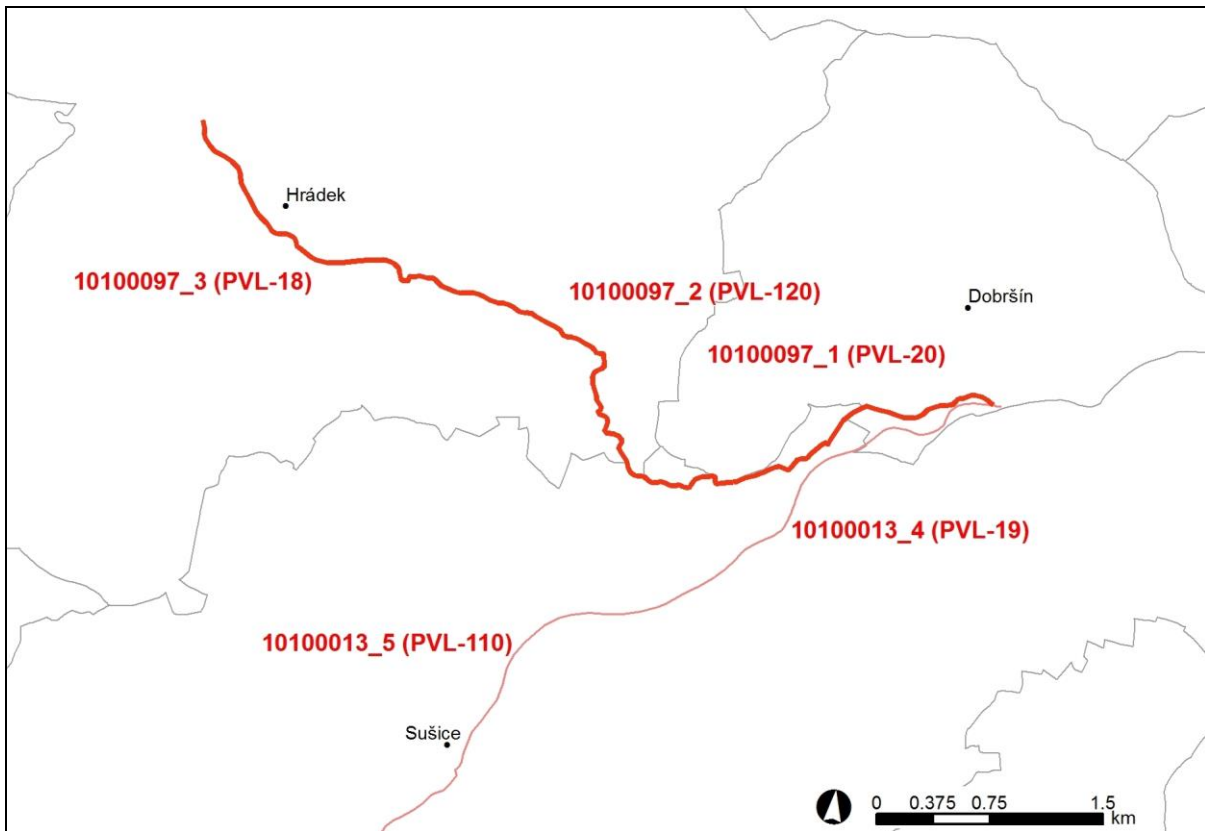
ID úseku IDVT CEVT - zdroj Ministerstvo zemědělství

Číslo hydrologického pořadí toku - zdroj ČHMÚ

Úsek toku - zdroj Povodí Vltavy, státní podnik.

Wikipedie

Obrázek 1 – Přehledná mapa řešeného území



## 2.1 Všeobecné údaje

Posuzovaný úsek toku Ostružná byl určen od ř.km 0,0 do ř.km 7,2 dle kilometráže poskytnuté pořizovatelem a přesně vymezen zadanými souřadnicemi S JTSK začátku a konce toku:

OSTRUŽNÁ - 10100097\_1 - Ř. KM 0 - 2

začátek úseku: X = -817 146,58 Y = -1 125 787,36

konec úseku: X = -818 860,71 Y = -1 126 291,73

OSTRUŽNÁ - 10100097\_2 - Ř. KM 2,0 – 5,6

začátek úseku: X = -818 860,71 Y = -1 126 291,73

konec úseku: X = -821 116,70 Y = -1 124 841,17

OSTRUŽNÁ - 10100097\_3 - Ř. KM 5,6 – 7,2

začátek úseku: X = -821 116,70 Y = -1 124 841,17

konec úseku: X = -822 476,09 Y = -1 123 837,20

**Staničení uvedené ve výpočetním modelu a použité při zpracování map povodňového nebezpečí bylo v řešeném úseku přepočteno podle skutečné délky osy vodního toku. Pro tento daný úsek byl sestaven model od ř.km 0,000 až do ř.km 7,108 zohledňující odlehčení před zaústěním Ostružné do Otavy.**

## 2.2 Průběhy historických povodní (největší zaznamenané povodně)

Na toku se vyskytuje nad řešeným úsekem limnigraf LG Kolínec. Řeka je velice citlivá na vydatnější srážky, které mohou výrazně změnit její ráz. Nejhorší zaznamenaná povodeň byla způsobena protržením hráze rybníka ve Velharticích, kdy hladina dosahovala 220 cm a průtok byl necelých  $80 \text{ m}^3 \cdot \text{s}^{-1}$ . O něco nižší průtok byl zaznamenaný 12. srpna 2002, kdy více než stoletý průtok trval po několik dní. Tehdy hladina dosáhla 173 cm.

### 3 Přehled podkladů

V souladu s vyhláškou č. 236/2002 Sb. byly použity pro zpracování návrhu záplavového území tyto podklady.

- Základní mapy 1:10 000 – digitální, rastrové - ZAGAGED, poskytlo Povodí Vltavy, státní podnik.
- Digitální model reliéfu České republiky 4. a 5. generace (DMR 4G a 5G), ČÚZK, 2012
- Geodetické zaměření provedené firmou Georeal, s.r.o. v 2013
- Geodetické zaměření TPE na toku Ostružná, poskytlo Povodí Vltavy, státní podnik
- Hydrologická data: n-leté průtoky - ČHMÚ Praha, 2012
- Podrobný terénní průzkum zpracovatele, uskutečněný v listopadu 2012, zaměřený na zmapování stavu koryta, inundací a objektů na toku
- Zákon č. 257/2001 Sb. - o vodách
- Vyhláška MŽP 236/2002 Sb. – o způsobu a rozsahu zpracování návrhu a stanovování záplavových území
- TNV: 75 2931 - Povodňové plány, 75 2102 - Úpravy potoků, 75 2103 - Úpravy řek, 75 2932 – Navrhování záplavových území
- Metadata poskytnutá Zeměměřickým ústavem k aktuální verzi ZM 10
- Wikipedie

#### 3.1 Topologická data

Topologická data jsou základním zdrojem, který je potřebný pro sestavení hydrodynamického modelu. Pomocí nich je možné popsat řešené území, sestavit digitální model terénu a vytvořit vhodnou schematizaci modelu. Jednotlivé topologické podklady jsou popsány v následujících kapitolách.

##### 3.1.1 Vytvoření (aktualizace) DMT

Digitální model terénu byl sestaven z DMR 4G a 5G a geodetického zaměření. DMT zájmového území se skládá z DMT koryta vodního toku a DMT inundačního území. DMT koryta vodního toku bylo vymodelováno pomocí lineární interpolace zaměřených příčných profilů s akceptováním směrového vedení toku. Vytvoření a složení DMT proběhlo v softwaru společnosti ESRI v ArcGIS pomocí extenze 3D Analyst. Trojúhelníková síť (TIN) DMT se rovněž převedla na georeferencovaný TIF o velikosti pixlu 2 m x 2 m.

**Všechny souřadnice DMT jsou v polohopisném systému S\_JTSK a výškovém systému Bpv.**

##### 3.1.2 Mapové podklady

Pro potřeby studie byla použita Základní mapa České republiky 1:10 000 (ZM 10) aktualizovaná Zeměměřickým úřadem v roce 2011. Jedná se o nejpodrobnější základní mapu středního měřítka.

ZM 10 obsahuje polohopis, výškopis a popis. Předmětem polohopisu jsou sídla a jednotlivé objekty, komunikace, vodstvo, hranice správních jednotek a katastrálních území (včetně územně technických jednotek), hranice chráněných území, body polohového a výškového bodového pole, porost a povrch půdy. Předmětem výškopisu je terénní reliéf zobrazený vrstevnicemi a terénními stupni. Popis mapy sestává z druhového označení objektů, standardizovaného geografického názvosloví, kót vrstevnic, výškových kót, rámových a mimorámových údajů. Obsahem mapových listů je i rovinář pravoúhlá souřadnicová síť a zeměpisná síť. Předměty obsahu mapy jsou znázorněny pouze na území České republiky. Míra generalizace polohopisu je na takové úrovni, že nedochází k rozsáhlejšímu spojování jednotlivých staveb do bloků a ke zjednodušování tvarů. Mapa tak poskytuje velmi podrobnou představu o zobrazovaném území.

Data ZM 10 se stavem aktualizace v roce 2009 a dříve byly odvozovány z vektorových výstupů, které vznikaly v průběhu tvorby vizualizací ZABAGED®. Jejich rasterizaci a následnou transformací do souřadnicového systému S-JTSK vznikl obraz státního území, který byl strukturován po listech ZM 10. Dalším zpracováním byla pořízena barevná bezešvá rastrová mapa s barevnou hloubkou 4 bit, jednotnou barevnou paletou a hustotou 400 dpi. Z důvodu nižší kvality rozlišení těchto výstupů bylo v roce 2011 přistoupeno k nahrazení těchto souborů novými

rastry, které vznikly přímým odvozením z tiskových podkladů ZM 10. Tyto rastry mají barevnou hloubku 24 bit a rozlišení 800 dpi. Data ZM 10 se stavem aktualizace v roce 2010 a později jsou odvozovány přímo z postscriptových souborů nové technologické linky. Tyto soubory jsou službou aplikačního serveru rastrovány s rozlišením 800 dpi, barevnou hloubkou 8 bit a jednotnou barevnou paletou. Do doby pokrytí celého území ČR soubory z nové technologické linky budou uživateli poskytovány vždy obě datové sady. Tvorbu a aktualizaci ZM 10 zajišťuje Zeměměřický úřad.

ZM 10 je distribuována ve formátu TIF po segmentech bezešvé mapy – čtvercích 2x2 km, se stranami rovnoběžnými se souřadnicovými osami S-JTSK. Kromě grafického umístovacího souboru je dodáván textový umístovací soubor TFW a to pro zobrazení S-JTSK / Krovak EN. Tento soubor obsahuje souřadnice levého horního rohu umístovacího čtverce a velikost pixelu v metrech pro dané rozlišení souboru. Předané soubory TIF mají rozlišení 3149x3149 (72DPI).

Nedílnou součástí při konstruování výpočetní sítě byly v r. 2004 – 2006 aktualizované ORTOFOTOMAPY ČR-čtverce 2,5 x 2,0 km ve formátu tif, se stranami rovnoběžnými se souřadnicovými osami S-JTSK. Kromě grafického umístovacího souboru je dodáván textový umístovací soubor TFW a to pro zobrazení S-JTSK / Krovak EN. Tento soubor obsahuje souřadnice levého horního rohu umístovacího čtverce a velikost pixelu v metrech pro dané rozlišení souboru. Předané soubory TIF mají velikost 2500x2000, rozlišení 96 x 96 DPI, hloubku barev 24 bit/pixel.

### 3.1.3 Geodetické podklady

Pro vytvoření DMT koryta toku bylo použito geodeticky zaměřených příčných profilů koryta a objektů v korytě, které bylo provedeno v roce 2013 firmou GEOREAL spol. s r.o. a geodeticky zaměřených příčných profilů koryta a objektů v korytě z technickoprovozní evidence toku správce vodního toku Ostružná.

Dalším podkladem pro tvorbu DMT byl Digitální model reliéfu České republiky 4. a 5. generace (DMR 4G a 5G) od ČÚZK, který představuje zobrazení přirozeného nebo lidskou činností upraveného zemského povrchu v digitálním tvaru ve formě výšek diskrétních bodů v nepravidelné trojúhelníkové síti (TIN) bodů o souřadnicích X, Y, H s úplnou střední chybou výšky 0,14 m.

**Všechny souřadnice jsou v polohopisném systému S\_JTSK a výškovém Bpv.**

## 3.2 Hydrologická data

Hydrologická data byla objednána v profilech pro zadané povodňové scénáře  $Q_5$ ,  $Q_{20}$ ,  $Q_{100}$ ,  $Q_{500}$ .

Tabulka 2 - N-leté průtoky ( $Q_N$ ) v  $m^3.s^{-1}$

Hydrologický profil	Datum pořízení	Říční kilometr	$Q_5$	$Q_{20}$	$Q_{100}$	$Q_{500}$	Třída přesnosti
LG Kolínec	15.6.2011	12,574	22	40	72	113	I.
Pod Kalným potokem	15.6.2011	12,148	26	47	82	131	I.
Ústí do Otavy	15.6.2011	0,0	34	61	109	178	II.

Třída přesnosti dle ČSN 75 1400

### 3.3 Místní šetření

Místní šetření bylo provedeno v listopadu 2012, při kterém byla pořízena aktuální fotodokumentace objektů na toku, významných částí toku, charakteru inundačního území a překážek v něm. Toto šetření bylo pro zpracovatele významné z hlediska stanovení drsnostních parametrů použitých v matematickém modelu.

Při místním šetření také proběhla kontrola stávajícího geodetického zaměření, jestli nedošlo ke změně mostních objektů, jestli jsou objekty zaměřené v potřebné míře pro sestavení hydraulického modelu, jestli jsou zaměřené objekty a stavby, které mohou významně ovlivňovat proudění atd. Na základě tohoto šetření bylo zjištěno, že stávající zaměření je vyhovující a postačí doměřit jen 8 příčných profilů a 8 objektů.

#### Charakter území:

Koryto vodního toku je v extravilánech přirozené a meandrující. Břehy jsou většinou lemovány vzrostlými stromy, svahy jsou porostlé křovisky a hustými travinami, výjma intravilánu, kde se jedná o udržovaný travní porost.

lnundační území je v intravilánu měst a obcí tvořeno budovami a objekty občanského, zemědělského a průmyslového charakteru, travními a ostatními volnými plochami (hřiště, parkoviště, parky). V extravilánu je údolí převážně zalesněno.

### **3.4 Doplňující podklady – technické a provozní informace, zprávy, studie, dokumenty, literatura**

### **3.5 Normy, zákony, vyhlášky**

Postupy zpracování studie byly v souladu s níže uvedenými dokumenty v jejich platném znění:

- [1] ČSN 75 0110 Vodní hospodářství – Terminologie hydrologie a hydroekologie
- [2] ČSN 75 1400 Hydrologické údaje povrchových vod.
- [3] Vyhláška MŽP 236/2002 Sb., o způsobu a rozsahu zpracovávání návrhu a stanovování záplavových území.
- [4] Vyhláška č. 470/2001 Sb., kterou se stanoví seznam významných vodních toků a způsob provádění činností souvisejících se správou vodních toků.

### **3.6 Vyhodnocení a příprava podkladů**

Poskytnuté topologické a hydrologické podklady plně pokryly zájmové území.

## 4 Popis koncepčního modelu

Základním požadavkem na zpracování záplavových území je provádění výpočtů metodou ustáleného nerovnoměrného proudění. Pro tento typ výpočtů byl zvolen program HEC RAS 4.1.0 včetně jeho nadstavby pro ARCGIS GeoRAS.

### 4.1 Schematizace řešeného problému

Schéma modelu je v souladu se SZÚ jednorozměrné (1D). Vzhledem k charakteru toku byla schematizace provedena tak, že příčné profily byly vymezeny na aktivní a neaktivní zóny pro jednotlivé návrhové průtoky. Vzdálenost příčných řezů je nepravidelná a jejich umístění je zaměřeno primárně na charakteristická místa toku, náhlé změny profilu toku, objekty na toku apod. V místech s prizmatickým korytem nebo neměnící se tratí je vzdálenost řezů větší, v případě objektů nebo náhlých změn tvaru koryta jsou řezy zahuštěny. Takto provedená schematizace je naprosto dostatečná a danému toku a účelu odpovídající.

### 4.2 Posouzení vlivu nestacionarity proudění

Použitá metodika výpočtu charakteristik proudění nepočítá s vlivem neustáleného proudění na odtokové poměry (v souladu s Metodikou zpracování SZÚ).

### 4.3 Způsob zadávání OP a PP

Jedná se o výpočet nerovnoměrného ustáleného proudění v otevřeném korytě. Do výpočetního modelu se tak zadává okrajová podmínka v dolním výpočtovém profilu v podobě hladiny, v horním výpočtovém profilu v podobě průtoku. V místě významných přítoků, pro které jsou k dispozici hydrologické údaje, se zadává změna průtoku. Jiné okrajové ani počáteční podmínky výpočtu se nezadávají.

Vnitřními podmínkami jsou pak údaje o drsnostních charakteristikách a ztrátových součinitelích.

## 5 Popis numerického modelu

### 5.1 Použité programové vybavení

Výpočty byly prováděny metodou ustáleného nerovnoměrného proudění v programu HEC – RAS 4.1.0 včetně jeho nadstavby v GIS GeoRAS.

Základní verze modelu hladinového režimu v otevřených korytech HEC-RAS, (River Analysis System) je jedním z produktů, které v oblasti hydrologie a hydrauliky vyvinul Hydrologic Engineering Center US Army Corps of Engineers. V roce 2000 byl dokončen vývoj nové verze programu, do které byl zařazen model neustáleného proudění HEC-UNET, dnes již ve verzi 4.1.0. Model umožňuje řešení stromových i okružních sítí přirozených otevřených koryt včetně příčných a podélných objektů na toku. Internetová adresa pro další informace je:

<http://www.hec.usace.army.mil/software/hec-ras/>

Program umožňuje výpočet nerovnoměrného proudění v otevřených korytech, v ustáleném i v neustáleném režimu. Je integrovaným prostředkem, který umožňuje interaktivní provoz, obsahuje moduly hydraulické analýzy, obsluhy datové báze, vizualizaci vstupních dat i výsledků. Významné jsou jeho možnosti výpočtu objektů na toku, příčných i podélných staveb. Umožňuje numerickou simulaci stromových sítí, bifurkací a okružních říčních systémů. Jako produkt federálního rozsahu, je standardním prostředkem pro plánování, návrh a protipovodňovou ochranu ve Spojených státech.

Základní verze programu HEC-RAS je vyvinuta armádou Spojených států jako federální institucí a je volně šířena po Internetu. Nadstavba HEC-GeoRAS je rovněž volně šířitelná.

### 5.2 Vstupní data numerického modelu

Hlavním podkladem pro generování vstupů pro HEC – RAS je geometrický model terénu, tj. 3D říční síť s 3D souřadnicemi, které jsou vygenerované pomocí GeoRasu z digitálního modelu terénu v TIN, podrobnější popis, viz výše.

#### 5.2.1 Morfologie vodního toku a záplavového území

Charakter toku byl již podrobně popsán v kap. 3.3 Místní šetření.

Jezové objekty a spádové stupně jsou počítány jako přepad přes obecné jezové těleso se zahrnutím součinitele zatopení na základě známé úrovni dolní vody, jež vzešla z výpočtu úseku pod objektem. Mostní objekty jsou počítány až do doby zahlcení jako vlastní profil koryta, po zahlcení jsou pak počítány jako objekty skládající se z kombinace výtoku vody otvorem a přepadu přes širokou korunu – přepad vody přes mostovku. I tyto objekty jsou uvažovány se správnou úrovni dolní vody vzešlou z výpočtu spodního úseku. Při výpočtu se jeden objekt skládá minimálně ze dvou profilů a to profilu pod objektem, jež slouží pro správné určení dolní vody těsně pod objektem a dále z profilu objektu, jež je uvažován v místě jeho návodní strany, často bývají tyto profily doplněny i profilem nad objektem, jež je umístěn cca 2 – 5 m nad návodní hranou objektu.

Výpis objektů na toku je uváděn ve směru proti proudu a je použita kilometráž z technickoprovozní evidence toku správce vodního toku. (toto staničení nesouhlasí se staničením hydraulického modelu).

ř.km 0,084 kamenobetonový jez O1 - KM 0.109

ř.km 0,120 betonový most O2 - KM 0.124

ř.km 0,605 betonový most O3 - KM 0.610

ř.km 0,710 betonový most O4 - KM 0.717

ř.km 0,944 betonový most O5 - KM 0.956

ř.km 1,019 jez O6 - KM 1.030

ř.km 1,315 kamenobetonový most O7 - KM 1.325

ř.km 2,056 betonový most O8 - KM 2.074

ř.km 3,665 stupeň O9 - KM 3.667

ř.km 3,735 most O10 - KM 3.761  
ř.km 4,550 jez O11 - KM 4.408  
ř.km 4,790 železobetonový most O12 - KM 4.803  
ř.km 5,152 jez O13 - KM 5.203  
ř.km 5,240 betonový most O14 - KM 5.249  
ř.km 5,503 lávka O15 - KM 5.517  
ř.km 5,647 lávka O16 - KM 5.660  
ř.km 5,730 skluz O17 - KM 5.726  
ř.km 6,236 jez O18 - KM 6.276

### 5.2.2 Drsnosti hlavního koryta a inundačních území

Drsnostní charakteristiky použité ve výpočetním modelu jsou zadány pomocí Manningova drsnostního součinitele. Hydraulické drsnosti jsou zadávány v jednotlivých přičných řezech a to v odlišných hodnotách jak pro jednotlivé části inundací, tak i pro jednotlivé části koryta, na základě již výše uvedené pořízené fotodokumentace a rekognoskace terénu. Vliv vegetace je do výpočtů zahrnut vždy v nejméně příznivé situaci, to znamená při plném vegetačním období.

Tabulka 3 - Použité drsnosti dle Manninga v korytě

Popis	n
beton	0,020 – 0,035
dlažba	0,025 – 0,045
tráva	0,035 – 0,045
keře	0,060 – 0,090

Tabulka 4 - Použité drsnosti dle Manninga v inundači

Popis	n
silnice, chodníky – asfalt, beton	0,020 – 0,025
louky, pole	0,035 – 0,045
stromy, keře	0,060 – 0,120
hustý porost	0,120 - 0,160
zahrady s ploty, zástavba	0,160 – 0,200 nebo vypuštěné z výpočtu

### 5.2.3 Hodnoty okrajových podmínek

Horní okrajové podmínky tvoří N-leté průtoky v místě významných přítoků. Dolní okrajové podmínky pro jednotlivé průtokové scénáře jsou zadány sklonem hladin (Normal Depth S) o hodnotě 0,005.

Tabulka 5 - N-leté povodňové průtoky uvažované při hydraulickém řešení v  $m^3.s^{-1}$

Popis úseku	Úsek toku (ř.km)	Q <sub>5</sub>	Q <sub>20</sub>	Q <sub>100</sub>	Q <sub>500</sub>	Poznámka
pod Kalným potokem	7,108 – 2,775	26,0	47,0	82,0	131,0	ČHMÚ
ústí do Otavy	2,775 – 0,000	34,0	61,0	109,0	178,0	ČHMÚ

poznámka: ř. km odpovídá kilometráži použité v modelu

### 5.2.4 Hodnoty počátečních podmínek

Výpočet byl řešen pomocí ustáleného proudění.

#### **5.2.5 Diskuze k nejistotám a úplnosti vstupních dat**

Každý výpočetní model je vždy schematizací skutečnosti. Chyba výsledných vypočtených charakteristik proudění (úrovně hladin, hloubky, rychlosti) je dána superpozicí chyb dat a procesů vstupujících do celého systému. Míra nejistoty tak plyne především z chybných vstupních dat (nedostatečně popsána topologie území a koryta, chyby v zaměření a zpracování geodetických dat, špatný odhad drsnostních charakteristik a hydraulických odporů, chyby/nejistoty v hydrologických datech).

### **5.3 Popis kalibrace modelu**

Model nebyl kalibrován, neboť nejsou k dispozici kalibrační značky.

## 6 Výstupy z modelu

Hlavním výstupem z matematického modelu je psaný podélní profil, jež je zpracován pro všechny průtokové epizody a jež je hlavním nástrojem pro tvorbu záplavových čar. Psaný podélní profil kromě vypočtené úrovně hladiny obsahuje i informaci o výšce dna (nejhlubší dno) a je doplněn o poznámku, upřesňující umístění daného příčného řezu.

*Tabulka 6 – Pisaný podélní profil*

Staničení [km]	Úroveň dna [m n.m.]	$Q_5$ [m <sup>3</sup> /s]	$H_5$ [m n.m.]	$Q_{20}$ [m <sup>3</sup> /s]	$H_{20}$ [m n.m.]	$Q_{100}$ [m <sup>3</sup> /s]	$H_{100}$ [m n.m.]	$Q_{500}$ [m <sup>3</sup> /s]	$H_{500}$ [m n.m.]
7.108	491.52	26	493.15	47	493.4	82	493.66	131	493.9
6.900	490.67	26	492.05	47	492.23	82	492.4	131	492.56
6.708	489.73	26	490.93	47	491.04	82	491.18	131	491.36
6.516	488.38	26	489.65	47	489.83	82	490.01	131	490.2
6.307	486.87	26	488.64	47	488.76	82	488.92	131	489.1
6.305	betonový most O19 - KM 6.316								
6.303	486.87	26	488.56	47	488.65	82	488.87	131	489.06
6.237	485.97	26	487.6	47	488.13	82	488.27	131	488.44
6.236	jez O18 - KM 6.276								
6.015	484.54	26	486.09	47	486.5	82	486.89	131	487.06
5.853	483.01	26	485.25	47	485.61	82	485.87	131	486.06
5.731	482.8	26	484.15	47	484.63	82	484.95	131	485.34
5.730	skluz O17 - KM 5.726								
5.673	482.02	26	483.78	47	484.37	82	484.84	131	485.23
5.648	481.78	26	483.65	47	484.13	82	484.7	131	485.14
5.647	lávka O16 - KM 5.660								
5.646	481.78	26	483.64	47	484.1	82	484.58	131	485.1
5.505	481.61	26	482.98	47	483.5	82	484.08	131	484.58
5.503	lávka O15 - KM 5.517								
5.502	481.61	26	482.95	47	483.43	82	484.01	131	484.5
5.361	480.56	26	482.05	47	482.5	82	483.12	131	483.88
5.247	480.29	26	481.7	47	482.24	82	482.92	131	483.82
5.240	betonový most O14 - KM 5.249								
5.237	480.29	26	481.59	47	482.1	82	482.7	131	483.09
5.153	479.19	26	481	47	481.39	82	481.88	131	482.44
5.152	jez O13 - KM 5.203								
4.966	478.12	26	479.74	47	480.2	82	480.44	131	480.77
4.792	477.59	26	478.84	47	479.21	82	479.86	131	480.1
4.790	železobetonový most O12 - KM 4.803								
4.788	477.59	26	478.79	47	478.96	82	479.71	131	479.96
4.778	477.5	26	478.89	47	479.22	82	479.52	131	479.77
4.582	476.84	26	478.41	47	478.63	82	478.82	131	479.02

Stanicení [km]	Úroveň dna [m n.m.]	Q <sub>5</sub> [m <sup>3</sup> /s]	H <sub>5</sub> [m n.m.]	Q <sub>20</sub> [m <sup>3</sup> /s]	H <sub>20</sub> [m n.m.]	Q <sub>100</sub> [m <sup>3</sup> /s]	H <sub>100</sub> [m n.m.]	Q <sub>500</sub> [m <sup>3</sup> /s]	H <sub>500</sub> [m n.m.]
4.421	476.6	26	477.51	47	477.66	82	477.85	131	478.05
4.356	476.2	26	477.22	47	477.43	82	477.63	131	477.82
4.355 jez O11 - KM 4.408									
4.117	474.14	26	476.2	47	476.3	82	476.59	131	476.77
4.111	474.15	26	476.17	47	476.33	82	476.54	131	476.74
3.916	473.9	26	475.27	47	475.48	82	475.7	131	475.95
3.739	473.01	26	474.66	47	474.9	82	475.16	131	475.41
3.735 most O10 - KM 3.761									
3.733	473.01	26	474.63	47	474.85	82	475.1	131	475.35
3.666	472.49	26	474.13	47	474.44	82	474.66	131	474.91
3.665 stupeň O9 - KM 3.667									
3.604	471.68	26	473.23	47	473.59	82	474	131	474.24
3.402	470.44	26	472.2	47	472.59	82	472.99	131	473.34
3.202	469.49	26	470.79	47	471.16	82	471.49	131	471.8
2.998	468.45	26	469.95	47	470.28	82	470.62	131	470.96
2.775	467.58	34	469.31	61	469.54	109	469.81	178	470.1
2.579	467.32	34	468.73	61	469	109	469.28	178	469.62
2.361	466.5	34	467.97	61	468.29	109	468.64	178	469.07
2.157	465.5	34	467.36	61	467.69	109	468.08	178	468.51
2.059	464.87	34	467	61	467.29	109	467.61	178	467.99
2.056 betonový most O8 - KM 2.074									
2.055	464.87	34	466.93	61	467.18	109	467.48	178	467.82
1.862	463.98	34	465.85	61	466.18	109	466.53	178	466.89
1.666	462.94	34	465.06	61	465.32	109	465.65	178	466.04
1.484	462.6	34	464.12	61	464.4	109	464.78	178	465.04
1.319	461.78	34	463.29	61	463.7	109	464.46	178	464.69
1.315 kamenobetonový most O7 - KM 1.325									
1.312	461.78	34	463.21	61	463.46	109	463.67	178	464.46
1.067	460.83	34	462.43	61	462.85	109	463.32	178	463.76
1.020 jez O6 - KM 1.030									
0.946	459.89	34	462.38	61	462.82	109	463.29	178	463.73
0.944 betonový most O5 - KM 0.956									
0.941	459.89	34	462.3	61	462.76	109	463.25	178	463.7
0.716	459.33	34	461.41	61	461.92	109	462.45	178	462.94
0.710 betonový most O4 - KM 0.717									
0.707	459.33	34	461.28	61	461.69	109	462.2	178	462.74
0.609	459.06	34	460.92	61	461.39	109	462.03	178	462.59
0.605 betonový most O3 - KM 0.610									
0.600	459.06	34	460.82	61	461.31	109	461.98	178	462.55

Staničení [km]	Úroveň dna [m n.m.]	$Q_5$ [m³/s]	$H_5$ [m n.m.]	$Q_{20}$ [m³/s]	$H_{20}$ [m n.m.]	$Q_{100}$ [m³/s]	$H_{100}$ [m n.m.]	$Q_{500}$ [m³/s]	$H_{500}$ [m n.m.]
0.387	458.01	34	460.12	61	460.73	109	461.59	178	462.17
0.193	457.17	34	459.73	61	460.45	101.12	461.45	126.93	462.05
0.123	457.3	34	459.01	61	459.85	101.12	461.05	126.93	461.87
0.120	betonový most O2 - KM 0.124								
0.113	457.3	34	458.5	61	458.99	101.12	459.59	126.93	459.93
0.098	456.7	31.82	458.58	57.77	459.11	94.4	459.7	116.9	459.98
0.085	457.22	31.82	458.25	57.77	458.74	94.4	459.31	116.9	459.55
0.084	kamenobetonový jez O1 - KM 0.109								
0.055	456.39	31.82	457.93	57.77	458.28	94.4	458.65	116.9	458.87
0.012	456.07	31.82	457.73	57.77	458.13	94.4	458.51	116.9	458.71

poznámka: ř. km odpovídá kilometráži použité v modelu

## 6.1 Záplavové čáry pro průtoky $Q_5$ , $Q_{20}$ , $Q_{100}$ a $Q_{500}$

Z vypočítaných úrovní hladiny v jednotlivých profilech byl interpretován průběh záplavové čáry. Z tohoto znázornění a z průběhu hladin v podélném profilu je patrný rozsah zatápěných ploch a objektů. Dále se tímto způsobem zjistí překážky průtoku, které působí patrné vzdušní hladiny, jejichž odstraněním nebo rekonstrukcí je možno rozsah zátop redukovat.

Záplavové čáry jsou vyneseny na podkladě rastrové Základní mapy ČR v měřítku 1:10 000. Zakreslení záplavových čar, zejména mimo zaměřené příčné profily, zahrnuje nepřesnosti použité mapy. Snahou vyeliminovat nepřesnosti je užití bodového pole z DMT mimo zaměřené příčné profily. Při posouzení konkrétního místa je tedy rozhodující kota hladiny odvozená z podélného profilu a skutečná nadmořská výška terénu posuzovaného místa.

Při aplikaci výsledků výpočtu je nutno si uvědomit, že přirodní třírozměrný v čase proměnný děj je popisován stacionárním jednorozměrným matematickým výpočtem s použitím mnoha zjednodušujících předpokladů a odhadů. Přesnost výpočtu je limitována zejména hustotou příčných profilů použitých k výpočtu a odhadem drsnostního součinitele.

Hodnoty úrovně hladin získané interpolací mezi jednotlivými výpočtovými příčnými profily nemusí odpovídat skutečnosti.

Nejsou zde postiženy jevy běžně se vyskytující při povodních - hladina v inundaci nemusí být v jednom příčném profilu stejná jako v korytě, v obloucích dochází k příčnému převýšení hladiny, hladina je rozvlněná, atd.

Výpočet je proveden pro ideální stav koryta. Není započítáno upcpání průtočného profilu plaveným materiélem, které hrozí zejména v mostních profilech. Vliv na proudění má i sezónní stav vegetačního pokryvu, při výpočtu bylo uvažováno s vegetací v plném vegetačním období.

Výsledky tohoto výpočtu nejsou nemenné. Může dojít ke změnám vlivem zpřesnění topografických podkladů, změny hydrologických údajů, použitím přesnějších výpočetních modelů, nebo vlivem změn v průtočném profilu toku.

Tabulka 7 – Přehled obcí do kterých zasahuje záplavové území při kulminačním průtoku  $Q_{500}$

ORP	Obec	ICOB
Sušice	Hrádek	556301
Sušice	Sušice	557153

## 6.2 Hloubky pro průtoky $Q_5$ , $Q_{20}$ , $Q_{100}$ a $Q_{500}$

Určení hloubek pro jednotlivé povodňové scénáře je provedeno v HEC-RAS pomocí nadstavby GeoRAS, která je extensí ArcGIS. Hloubka je vypočtena jako rozdíl digitálního modelu hladiny a digitálního modelu terénu. Výsledkem je rastr hloubek o velikosti pixlu 2 m x 2 m. Mapa hloubek se následně ořízne záplavovou čárou pro daný scénář.

## 6.3 Rychlosti pro průtoky $Q_5$ , $Q_{20}$ , $Q_{100}$ a $Q_{500}$

Při výpočtu nerovnoměrného proudění byly z výpočetního programu HEC-RAS exportovány pro jednotlivé profily a jednotlivé průtokové epizody průměrné průřezové rychlosti pro koryto a pravou a levou inundaci. Takto získané hodnoty rychlostí pak byly v GIS přiřazeny jako bodová informace daného příčného řezu.

## 6.4 Zhodnocení nejistot ve výsledcích výpočtu

Jak bylo uvedeno výše, výpočetní model 1D je vždy schematizací skutečnosti. Hlavní míra nejistoty však neplyne ze špatného odhadu drsnostních charakteristik, nebo nedostatečně popsané topologie území a koryta, ale ze vstupních průtokových dat, jejichž přesnost je nezřídka v rozmezí  $\pm 40 - 60\%$  dle uvedené třídy přesnosti. Dalším již zmíněným faktorem, s ním model nepočítá, je množství plavenin, které postupují tokem při povodni, ať už se jedná například o ledové kry nebo antropogenní materiál či dřevní hmotu. Tyto plaveniny, pak zejména v prostoru objektů mohou způsobit naprosto převratné změny průtočného profilu (částečné nebo úplné ucpání), které pak mají na průběh hladiny zásadní vliv.

Pokud však odhlédneme od nejistot způsobených nepřesnými hydrologickými daty a budeme vztahovat rozsah záplavového území ke konkrétnímu průtoku (a nikoliv k deklarované četnosti povodně) a budeme postupovat v souladu s Metodikou stanovení SZÚ, tedy výpočet bez plavenin, můžeme konstatovat, že vypovídající schopnost modelu je značně vysoká. Největší ovlivnění hladin nastává v místech objektů, jejichž nesprávné posouzení, či špatně provedený výpočet ve vztahu k zatopení dolní vodou, má na úroveň hladiny zásadní vliv. Poměrně významné je i ovlivnění výpočtu chybě umíštěnými dílčími profily v příčném řezu, naopak chybý odhad drsnosti byť v rádu desítek procent se ve volné trati dramaticky neprojeví.